

**Европейский центр
«ONLINE CLINIC»**

Республика Болгария, София
www.newonlineclinic.com

**РЕЗУЛЬТАТ ОБРАБОТКИ
№1212R1**

**Научно-исследовательский центр
«АВАНТРЕНД»**

Россия, Екатеринбург, ул. Народной Воли, 65 - 805
www.medinnovations.ru info@medinnovations.ru
8 (343) 38-24-911

РЕЗУЛЬТАТ ОБРАБОТКИ №1212R1

Дата обработки: 12.12.2018.

Вид исследования: МРТ.

Предоставленные снимки от: 04.07.2018.

В ходе обработки изображения проанализированы 2 области исследования:

- Голова и шея;
- Позвоночник.

Диагностическая обработка цифровых медицинских данных выявляет патологические изменения тканей организма. Результат обработки не является диагнозом. Интерпретация результата проводится лечащим врачом.

1. Область исследования - Голова и шея

Представленные снимки области исследования представлены на рисунке 1.

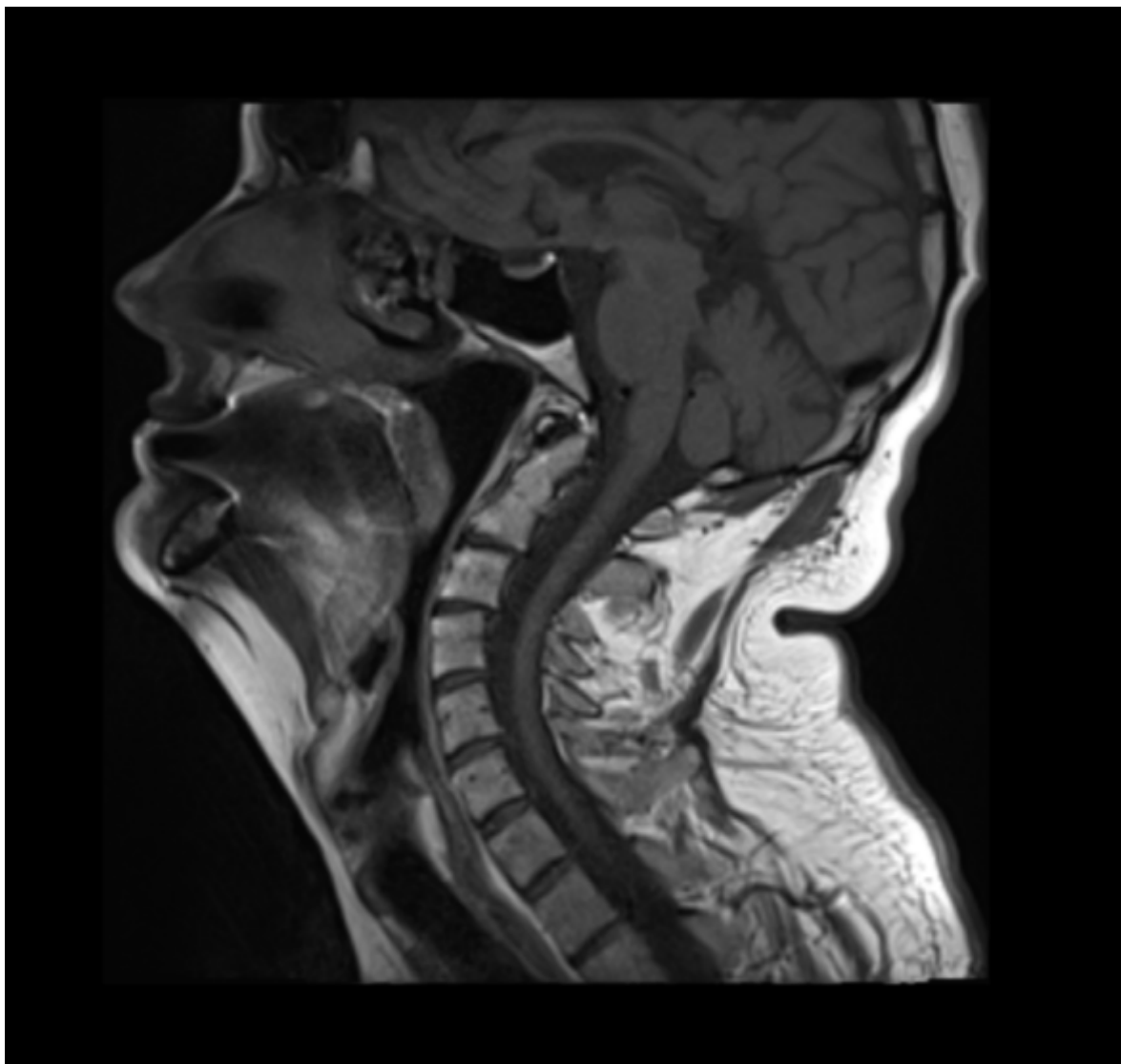


Рисунок 1

1.1 Зона внимания - Большие полушария головного мозга

На рисунках 2-4 показаны найденные образования (желтый круг) в верхней части боковых желудочков, с обеих сторон вдоль передних и задних рогов боковых желудочков.

Интенсивность образований:

- на **T1 изображениях** изоинтенсивный сигнал относительно белого вещества мозга;
- на **T2 изображениях** изоинтенсивный сигнал относительно белого вещества мозга;
- на **FLAIR гиперинтенсивный** сигнал относительно белого вещества мозга;
- на **Dark_Fluid** гиперинтенсивный сигнал относительно белого вещества мозга;
- на **Dark_Fluid + FatSet** гиперинтенсивный сигнал относительно белого вещества мозга;
- на **DWI гиперинтенсивный** сигнал относительно белого вещества мозга;
- на **ADC гиперинтенсивный** сигнал относительно белого вещества мозга.

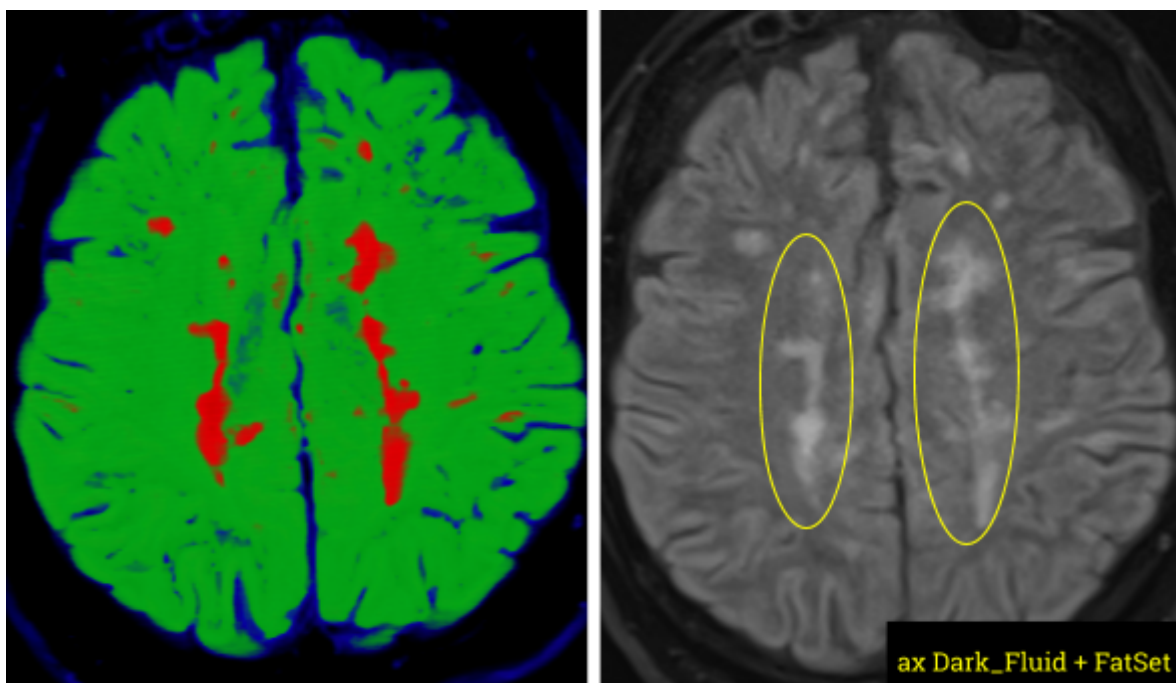


Рисунок 2

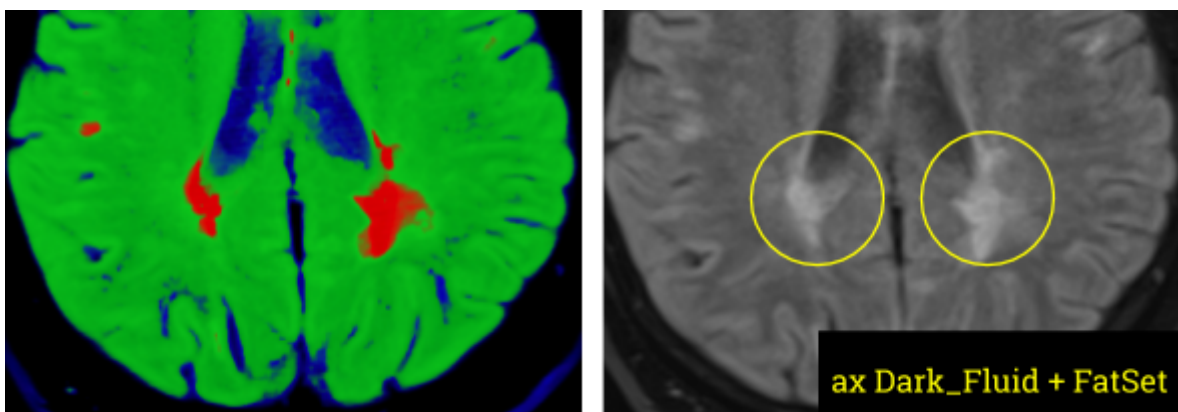


Рисунок 3

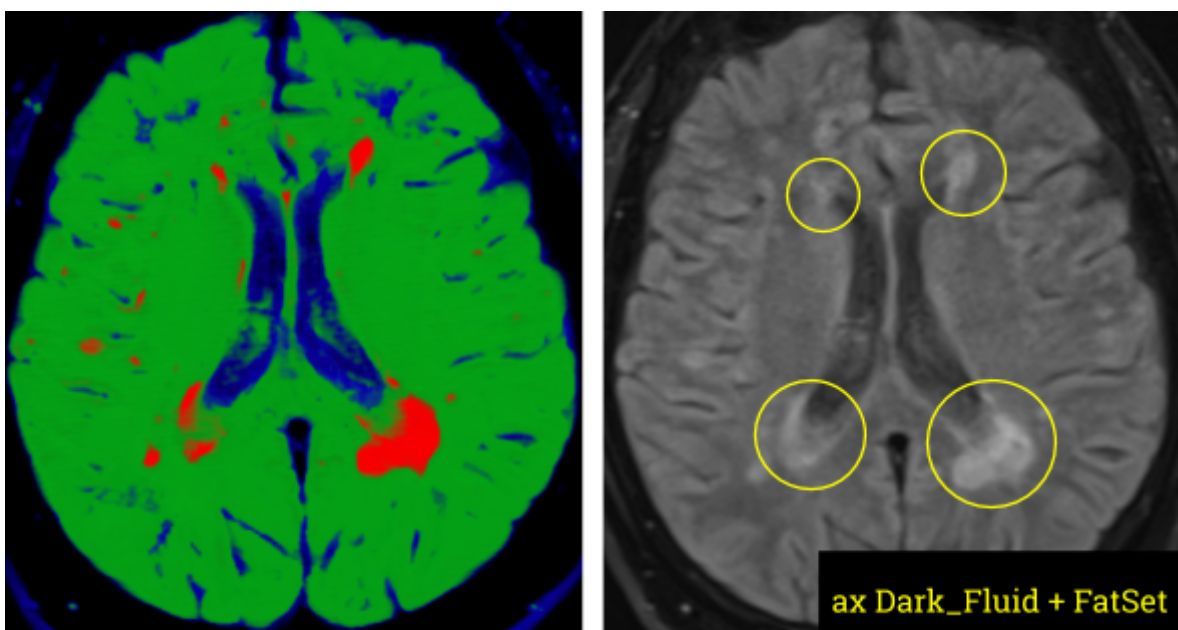


Рисунок 4

- █ - изоинтенсивный сигнал;
- █ - гипоинтенсивный сигнал;
- █ - гиперинтенсивный сигнал.

На рисунках 5-7 показаны найденные множественные округлые образования (желтый круг) в белом веществе головного мозга. Образования расположены в лобной, теменной, височной и затылочной долях.

Диаметр образований: от 1.3 до 7.6 мм .

Интенсивность образований:

- на **T1 изображениях** изоинтенсивный сигнал относительно белого вещества мозга;
- на **T2 изображениях** изоинтенсивный сигнал относительно белого вещества мозга;
- на **FLAIR гиперинтенсивный** сигнал относительно белого вещества мозга;
- на **Dark_Fluid** гиперинтенсивный сигнал относительно белого вещества мозга;
- на **Dark_Fluid + FatSet** гиперинтенсивный сигнал относительно белого вещества мозга;
- на **DWI гиперинтенсивный** сигнал относительно белого вещества мозга;
- на **ADC гиперинтенсивный** сигнал относительно белого вещества мозга.

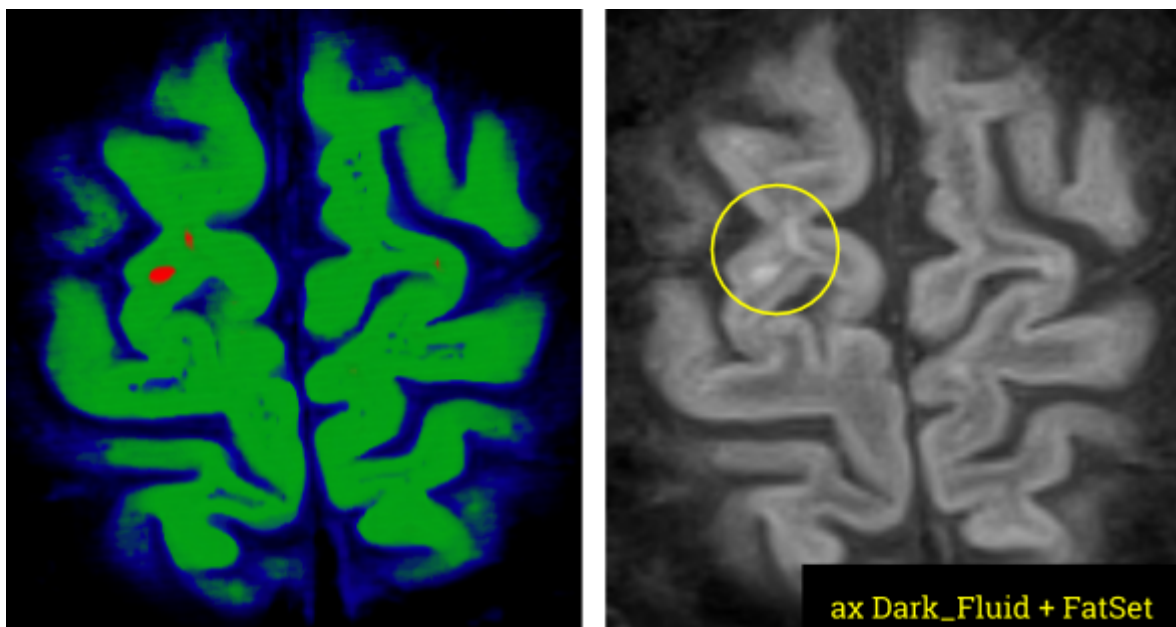


Рисунок 5

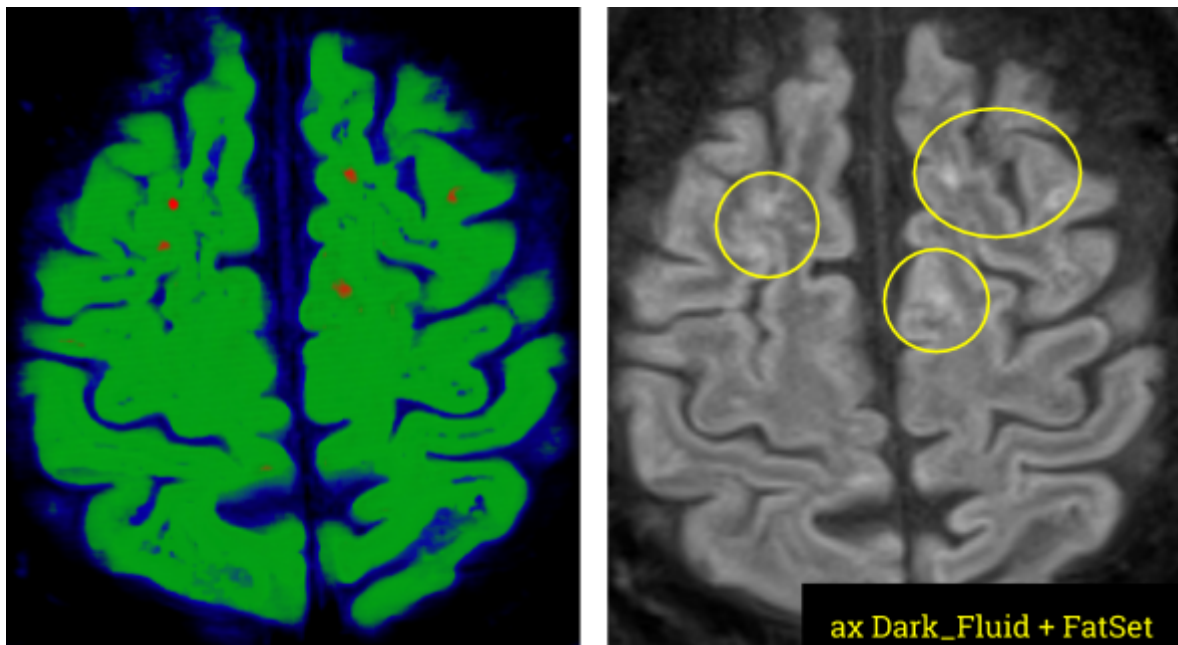


Рисунок 6

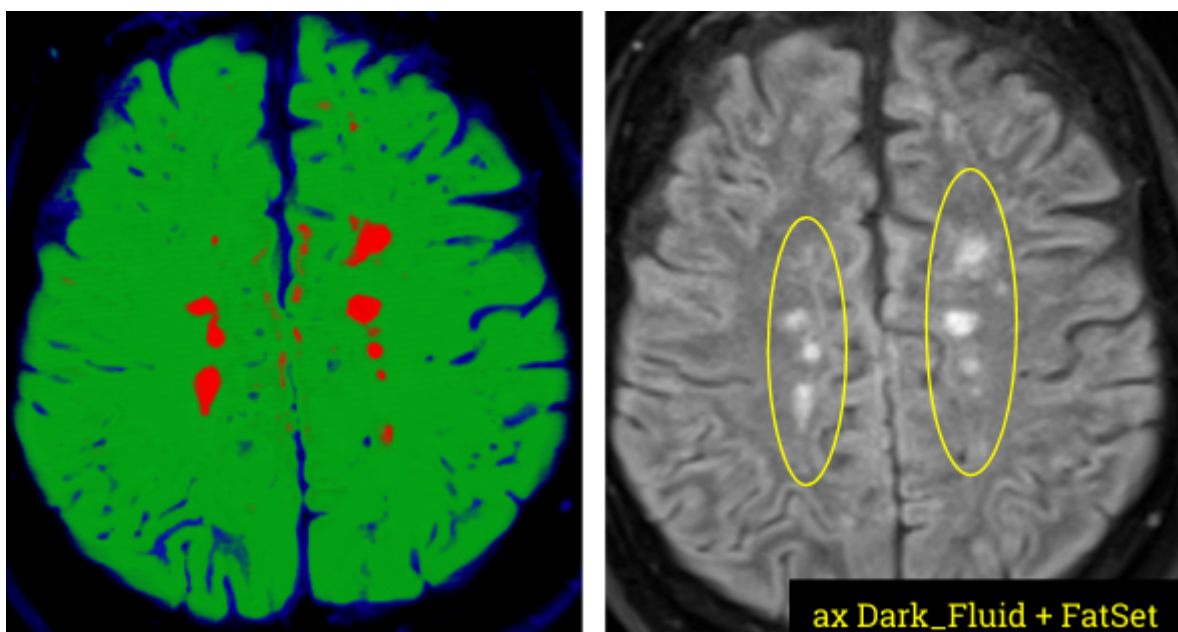


Рисунок 7

- - изоинтенсивный сигнал;
- - гипоинтенсивный сигнал;
- - гиперинтенсивный сигнал.

1.2 Зона внимания - Мозжечок

На рисунке 8 показано найденное гиперинтенсивное образование (желтый круг) в задней доле мозжечка.

Интенсивность образований:

- на T1 изображениях изоинтенсивный сигнал относительно верхней части полушария мозжечка;
- на T2 изображениях изоинтенсивный сигнал относительно верхней части полушария мозжечка;
- на FLAIR изоинтенсивный сигнал относительно верхней части полушария мозжечка;
- на Dark_Fluid гиперинтенсивный сигнал относительно верхней части полушария мозжечка;
- на Dark_Fluid + FatSet изоинтенсивный сигнал относительно верхней части полушария мозжечка;
- на DWI изоинтенсивный сигнал относительно верхней части полушария мозжечка;
- на ADC изоинтенсивный сигнал относительно верхней части полушария мозжечка.

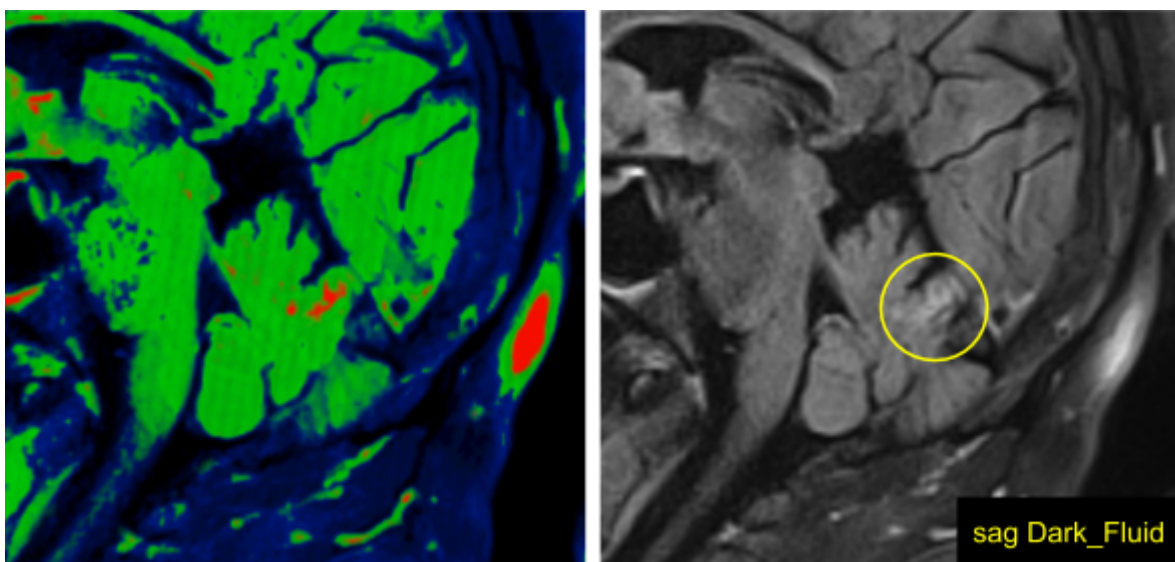


Рисунок 8

- - изоинтенсивный сигнал;
- - гипоинтенсивный сигнал;
- - гиперинтенсивный сигнал.

На рисунке 9 показаны найденные множественные гиперинтенсивные образования (желтый круг) в белом веществе мозжечка.

Интенсивность образований:

- на **T1 изображениях** изоинтенсивный сигнал относительно белого вещества мозжечка;
- на **T2 изображениях** изоинтенсивный сигнал относительно белого вещества мозжечка;
- на **FLAIR** гиперинтенсивный сигнал относительно белого вещества мозга;
- на **Dark_Fluid** изоинтенсивный сигнал относительно белого вещества мозжечка;
- на **Dark_Fluid + FatSet** изоинтенсивный сигнал относительно белого вещества мозжечка;
- на **DWI** изоинтенсивный сигнал относительно белого вещества мозжечка;
- на **ADC** изоинтенсивный сигнал относительно белого вещества мозжечка.

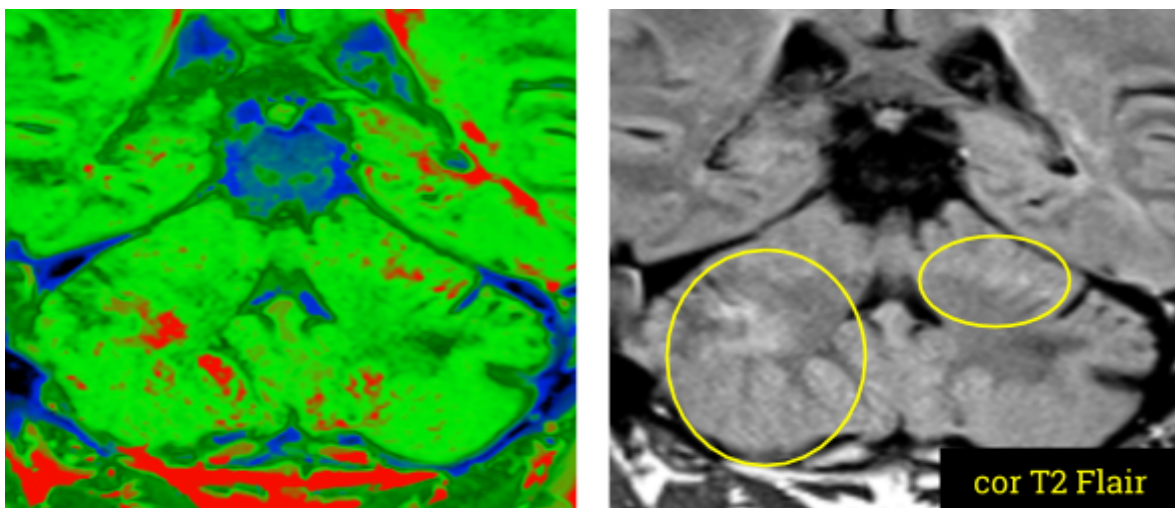


Рисунок 9

- - изоинтенсивный сигнал;
- - гипоинтенсивный сигнал;
- - гиперинтенсивный сигнал.

1.3 Зона внимания - Мозолистое тело

На рисунке 10 показано найденное образование (желтый круг) - истончение мозолистого тела.

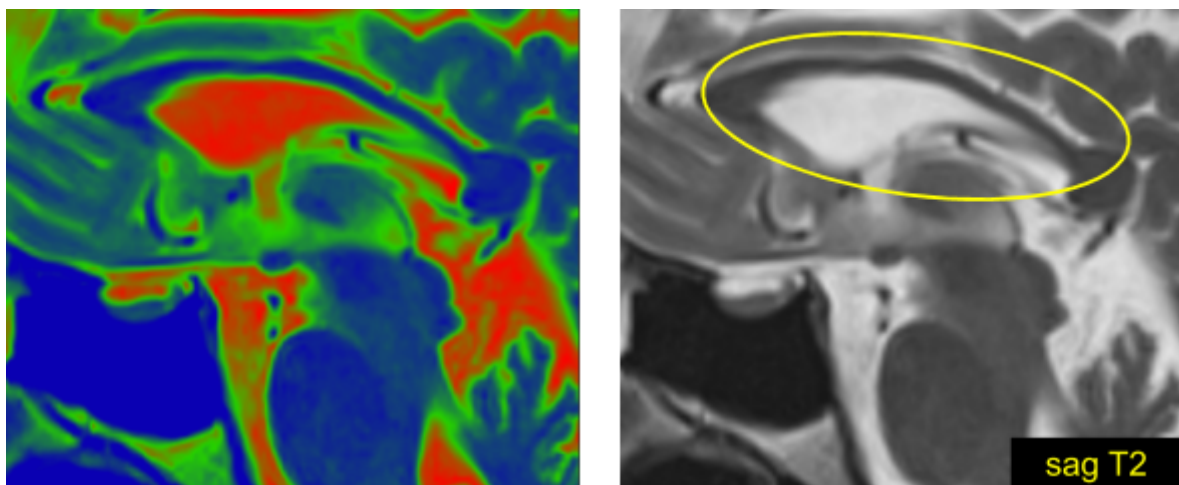


Рисунок 10

- █ - изоинтенсивный сигнал;
- █ - гипоинтенсивный сигнал;
- █ - гиперинтенсивный сигнал.

1.4 Зона внимания - Гипофиз

На рисунке 11 показано найденное образование (желтый круг) - ликвор в полости турецкого седла. Сжатие гипофиза - высота до 2.2 мм.

Интенсивность образования:

- на **T1 изображениях** гипоинтенсивный сигнал относительно гипофиза;
- на **T2 изображениях** гиперинтенсивный сигнал относительно гипофиза;
- на **FLAIR** гипоинтенсивный сигнал относительно гипофиза;
- на **Dark_Fluid** гипоинтенсивный сигнал относительно гипофиза;
- на **Dark_Fluid + FatSet** гипоинтенсивный сигнал относительно гипофиза.

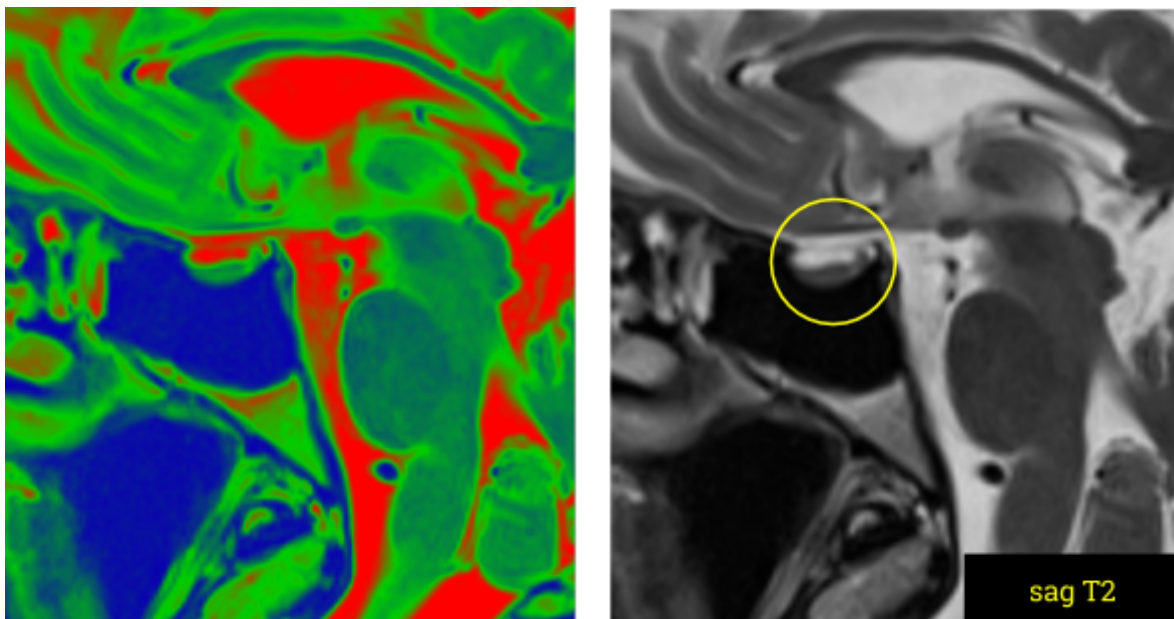


Рисунок 11

- - изоинтенсивный сигнал;
- - гипоинтенсивный сигнал;
- - гиперинтенсивный сигнал.

1.5 Зона внимания - Ликворные пространства головного мозга

На рисунке 12 показано найденное образование (желтый круг) - расширение ликворных пространств лобных, височных долей.

Расширение продольной щели головного мозга до 7 мм.

Интенсивность образования:

- на T1 изображениях гипointенсивный сигнал относительно гипофиза;
- на T2 изображениях гиперинтенсивный сигнал относительно гипофиза;
- на FLAIR гипointенсивный сигнал относительно гипофиза;
- на Dark_Fluid гипointенсивный сигнал относительно гипофиза;
- на Dark_Fluid + FatSet гипointенсивный сигнал относительно гипофиза.

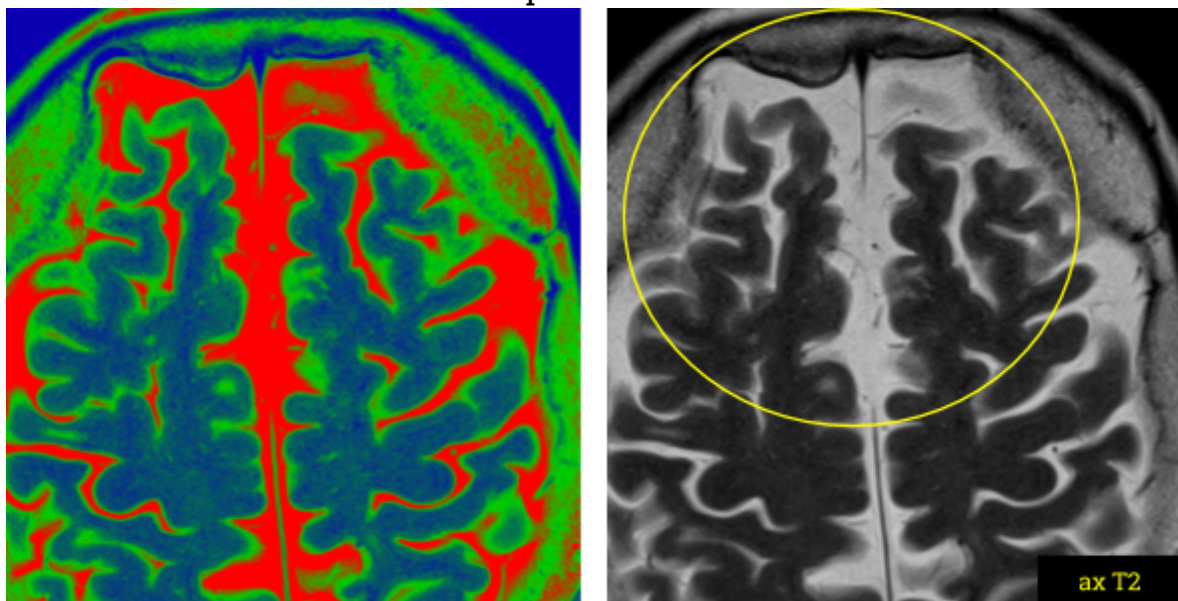


Рисунок 12

- - изоинтенсивный сигнал;
- - гипointенсивный сигнал;
- - гиперинтенсивный сигнал.

1.6 Зона внимания - Гайморовы пазухи

На рисунках 13-14 показаны найденные образования (желтый круг) - нарост на стенке правой гайморовой пазухи.

Интенсивность образований:

- на T1 изображениях изоинтенсивный сигнал относительно стенки гайморовой пазухи;
- на T2 изображениях гиперинтенсивный сигнал относительно стенки гайморовой пазухи;
- на FLAIR изоинтенсивный сигнал относительно стенки гайморовой пазухи;
- на Dark_Fluid изоинтенсивный сигнал относительно стенки гайморовой пазухи;
- на Dark_Fluid + FatSet гиперинтенсивный сигнал относительно стенки гайморовой пазухи;
- на DWI гиперинтенсивный сигнал относительно стенки гайморовой пазухи;
- на ADC гиперинтенсивный сигнал относительно стенки гайморовой пазухи.

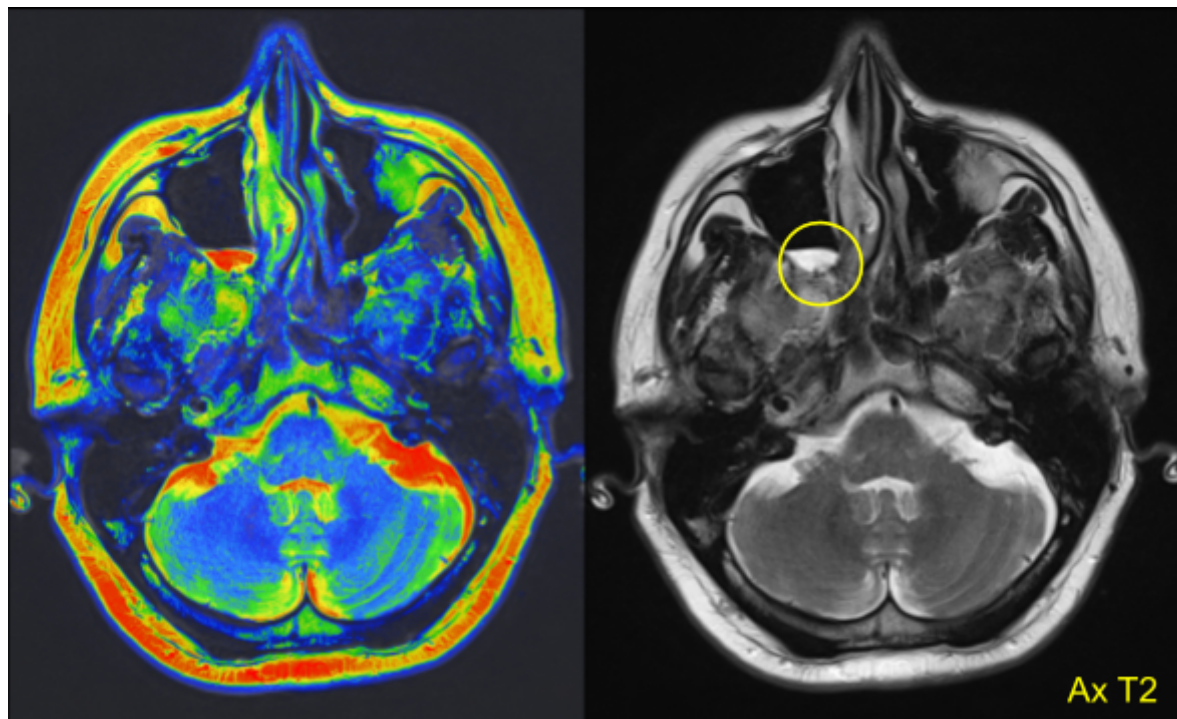


Рисунок 13

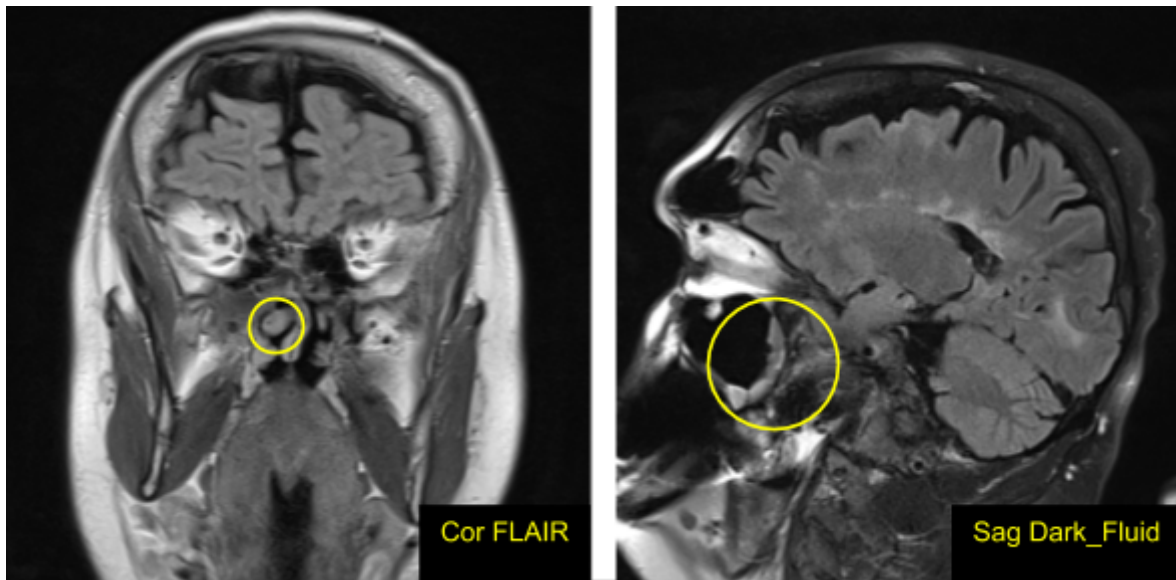


Рисунок 14

На рисунках 15-16 показаны найденные образования (желтый круг) - нарост на стенке правой гайморовой пазухи.

Интенсивность образований:

- на T1 изображениях гиперинтенсивный сигнал относительно стенки гайморовой пазухи;
- на T2 изображениях гиперинтенсивный сигнал относительно стенки гайморовой пазухи;
- на FLAIR гиперинтенсивный сигнал относительно стенки гайморовой пазухи;
- на Dark_Fluid гиперинтенсивный сигнал относительно стенки гайморовой пазухи;
- на Dark_Fluid + FatSet гиперинтенсивный сигнал относительно стенки гайморовой пазухи;
- на DWI гиперинтенсивный сигнал относительно стенки гайморовой пазухи;
- на ADC гиперинтенсивный сигнал относительно стенки гайморовой пазухи.

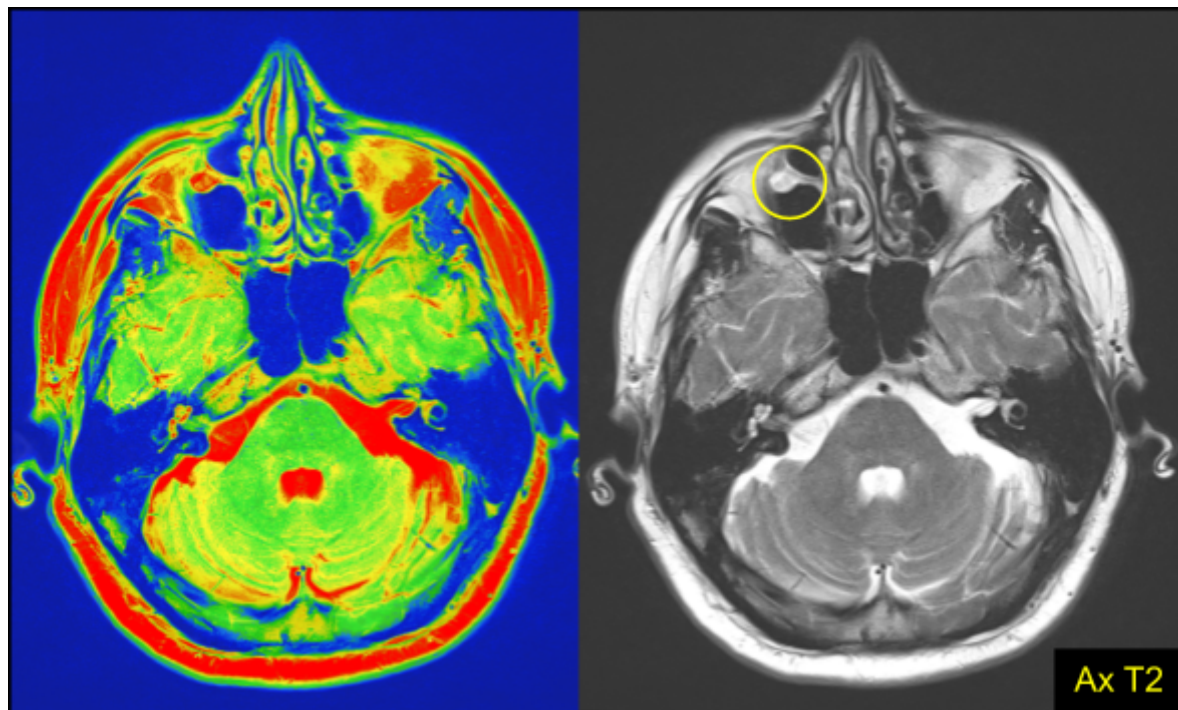


Рисунок 15

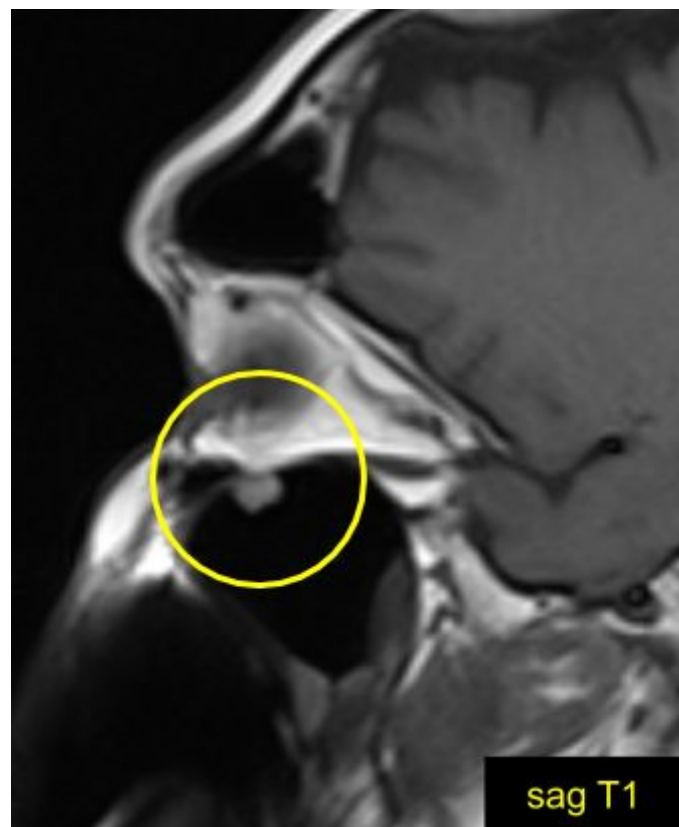


Рисунок 16

2. Область исследования - Позвоночник

Представленные снимки области исследования представлены на рисунке 17.

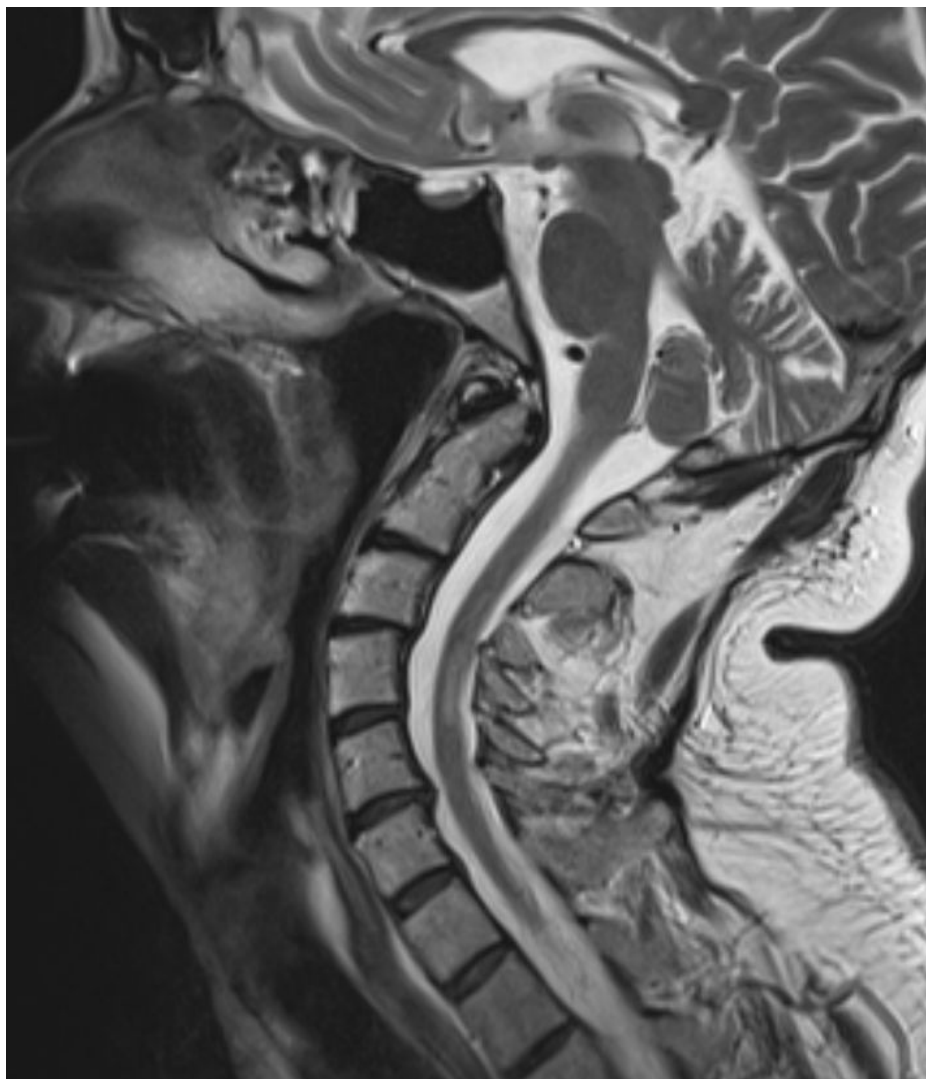


Рисунок 17

2.1 Зона внимания - Шейный отдел позвоночника

Высота межпозвоночных дисков:

- C2/C3 - 3.5 мм - с снижением МР сигнала;
- C3/C4 - 3.1 мм - с снижением МР сигнала;
- C4/C5 - 4.7 мм;
- C5/C6 - 4.0 мм;
- C6/C7 - 3.2 мм;
- C7/Th1 - 5.2 мм;
- Th1/Th2 - 5.0 мм;
- Th2/Th3 - 4.2 мм.

На рисунке 18 показано найденное образование (желтый круг) - стенозирование спинномозгового канала на $\frac{1}{3}$ на уровне C5/C6.

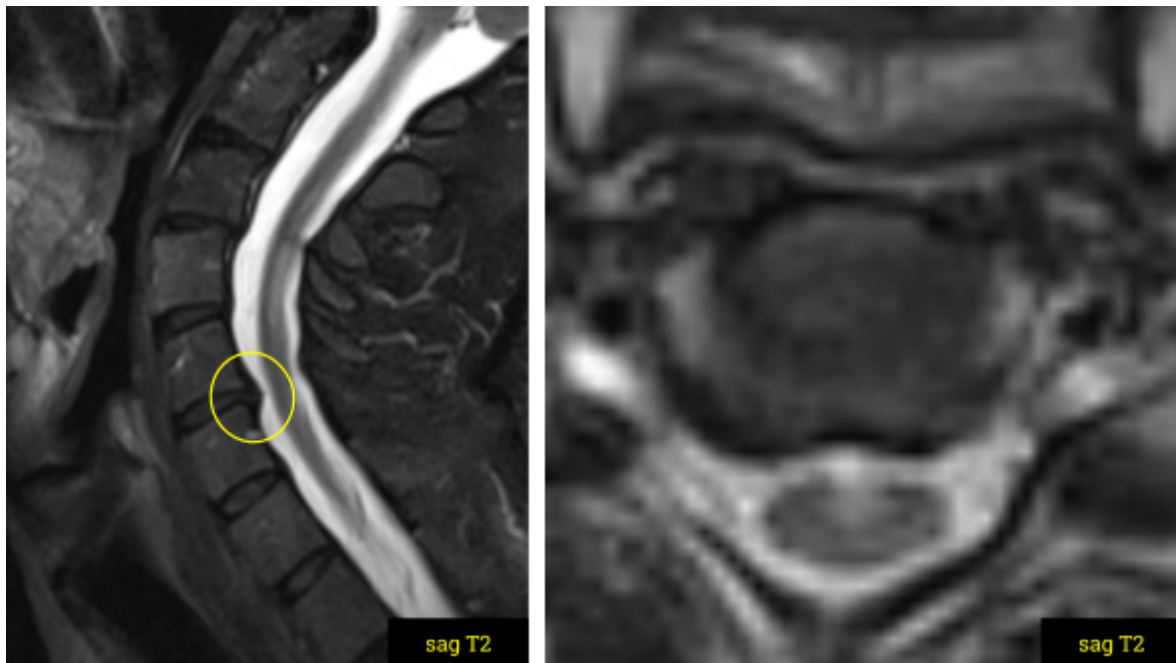


Рисунок 18

- - изоинтенсивный сигнал;
- - гипоинтенсивный сигнал.

На рисунках 19-20 показано найденное гиперинтенсивное образование (желтый круг) в веществе спинного мозга на уровне позвонков C4-C5.

Размер образования: 3.0 мм * 12.8 мм .

Интенсивность образований:

- на T1 изображениях изоинтенсивный сигнал относительно спинного мозга;
- на T2 изображениях гиперинтенсивный сигнал относительно спинного мозга;
- на FLAIR не попадает в зону видимости представленных снимков;
- на Dark_Fluid не попадает в зону видимости представленных снимков;
- на Dark_Fluid + FatSet не попадает в зону видимости представленных снимков;
- на DWI не попадает в зону видимости представленных снимков;
- на ADC не попадает в зону видимости представленных снимков.

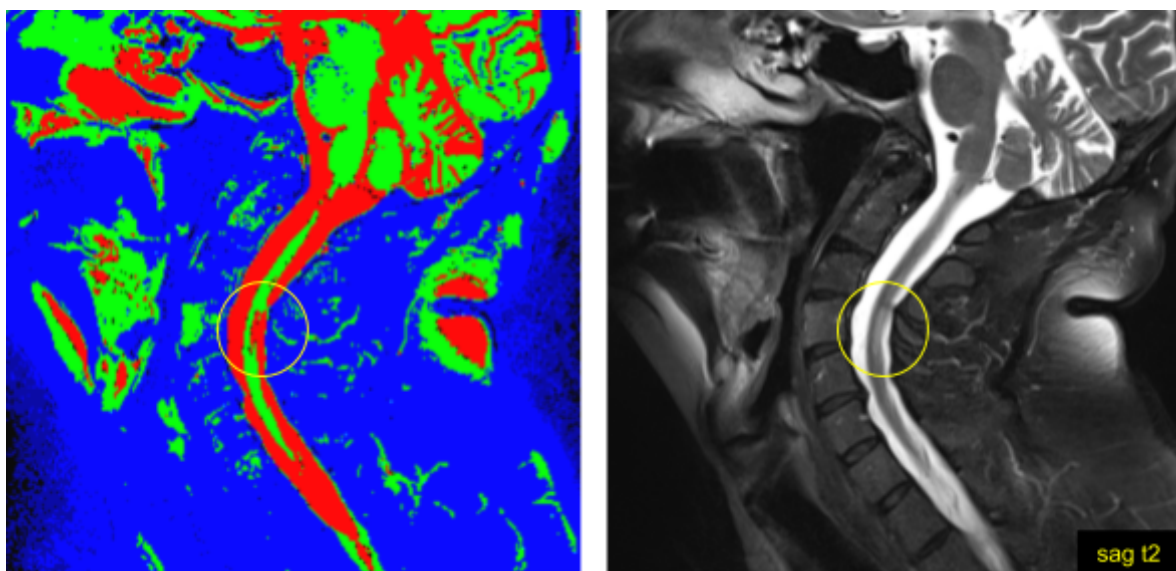


Рисунок 19

- - изоинтенсивный сигнал;
- - гипоинтенсивный сигнал;
- - гиперинтенсивный сигнал.

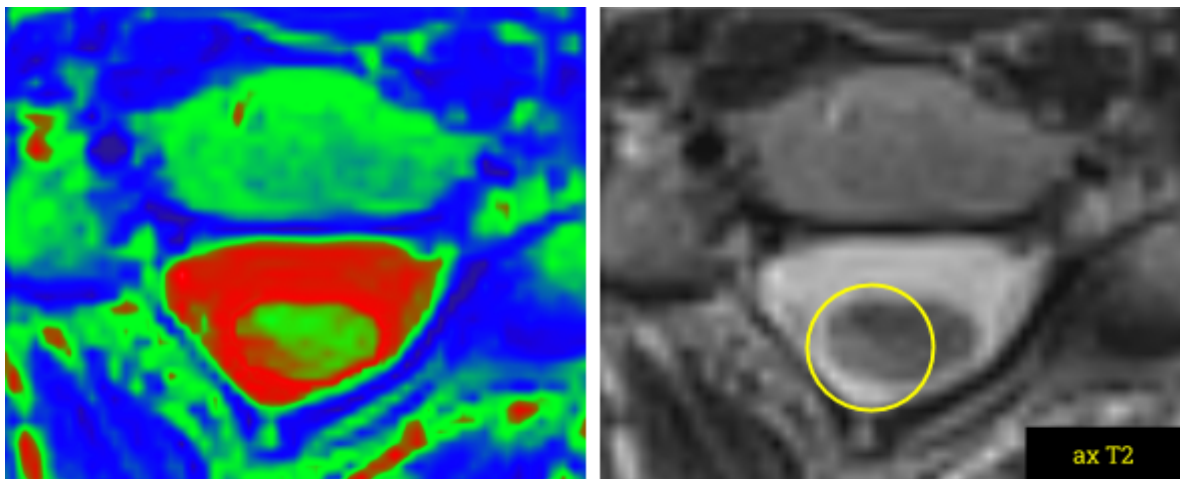


Рисунок 20

На рисунке 21-22 показано найденное гиперинтенсивное образование (желтый круг) в веществе спинного мозга на уровне позвонков C5-C6.

Размер образования: 2.6 мм * 13.0 мм .

Интенсивность образований:

- на **T1 изображениях** изоинтенсивный сигнал относительно спинного мозга;
- на **T2 изображениях** гиперинтенсивный сигнал относительно спинного мозга;
- на **FLAIR** не попадает в зону видимости представленных снимков;
- на **Dark_Fluid** не попадает в зону видимости представленных снимков;
- на **Dark_Fluid + FatSet** не попадает в зону видимости представленных снимков;
- на **DWI** не попадает в зону видимости представленных снимков;
- на **ADC** не попадает в зону видимости представленных снимков.

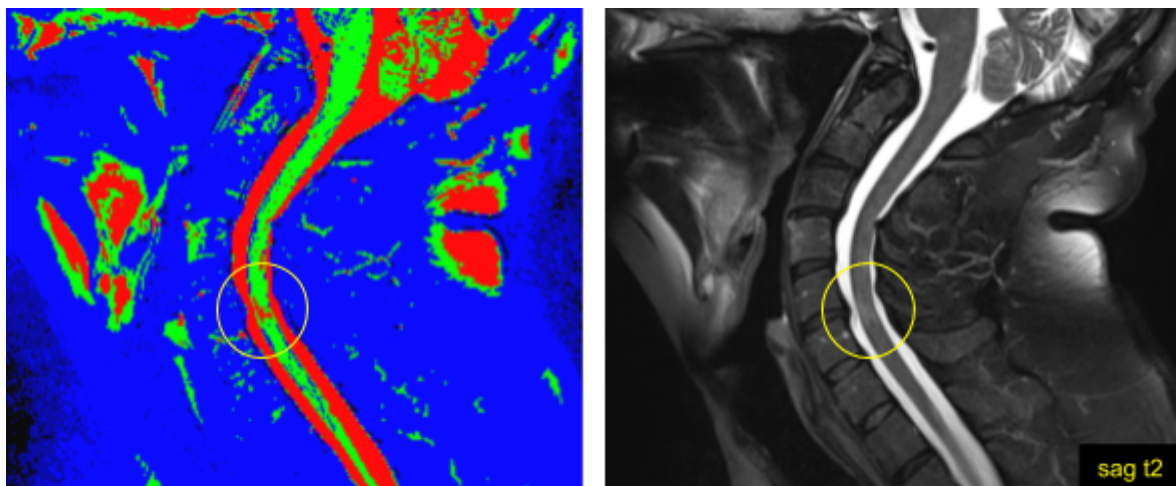


Рисунок 21

- - изоинтенсивный сигнал;
- - гипоинтенсивный сигнал;
- - гиперинтенсивный сигнал.

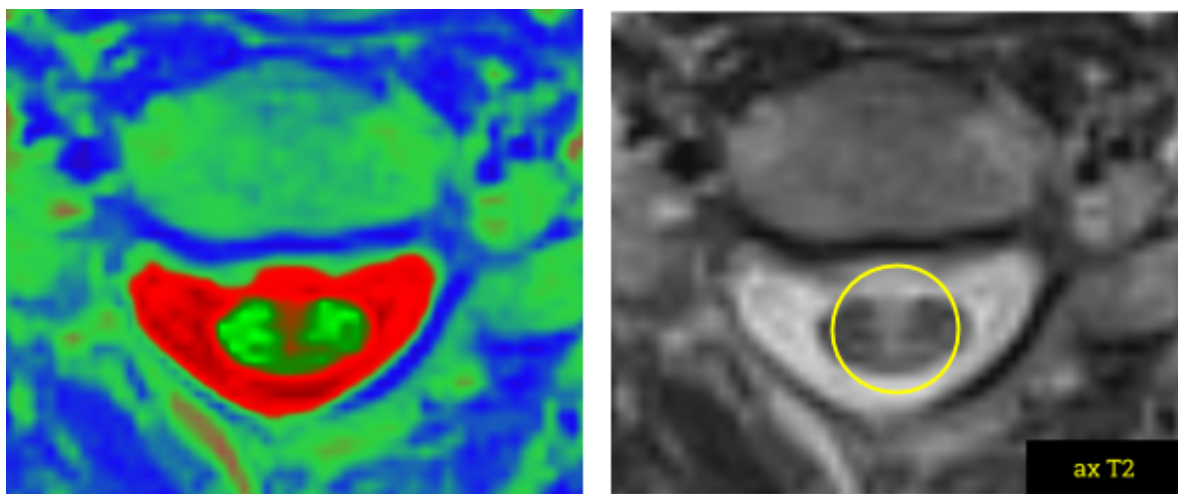


Рисунок 22

На рисунке 23 показаны найденные гиперинтенсивные образования (желтый круг) в передних частях тел позвонков C2-C4.

Интенсивность образований:

- на Т1 изображениях гиперинтенсивный сигнал относительно тела позвонка;
- на Т2 изображениях гиперинтенсивный сигнал относительно тела позвонка.

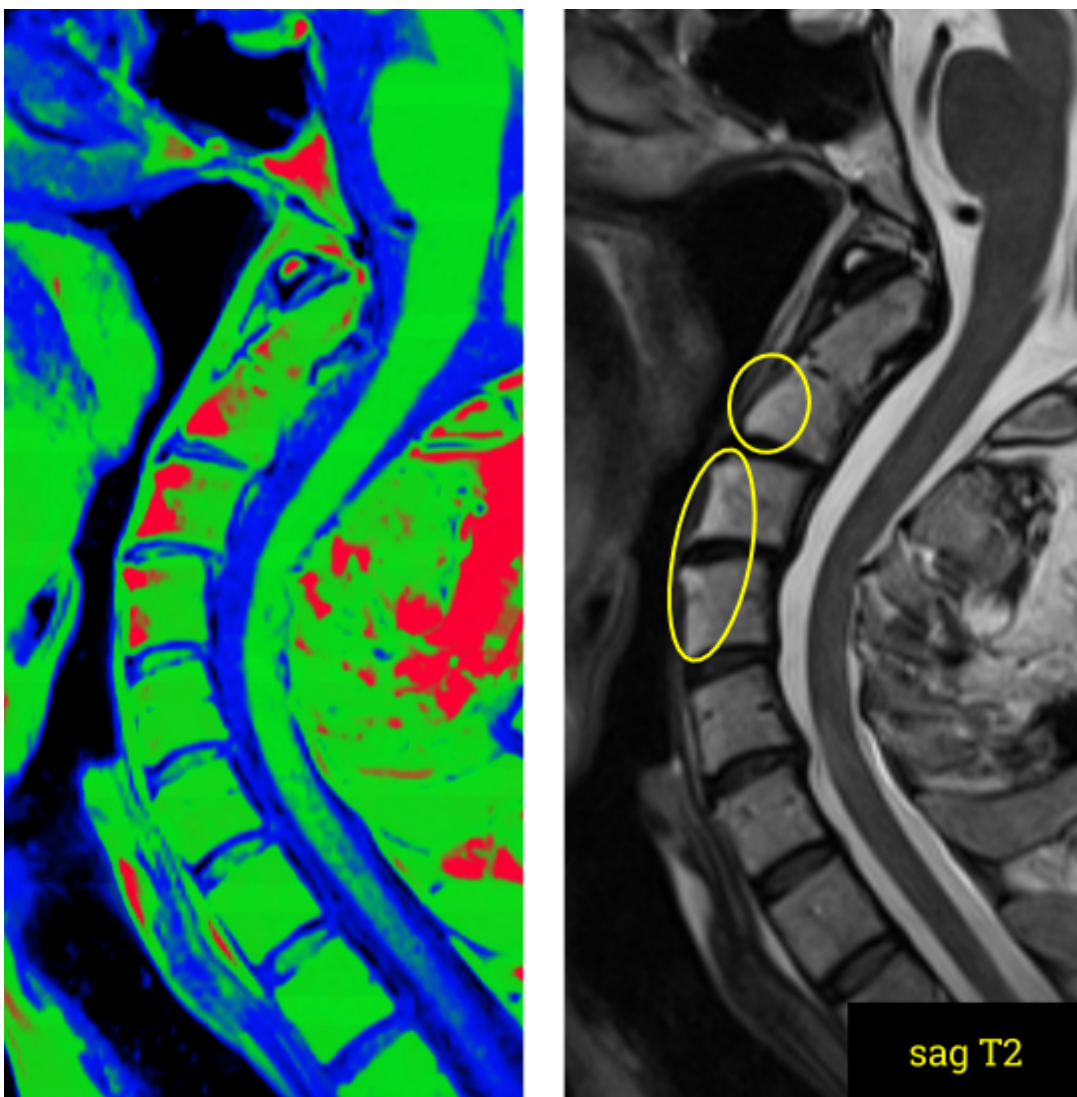


Рисунок 23

- - изоинтенсивный сигнал;
- - гипоинтенсивный сигнал;
- - гиперинтенсивный сигнал.

На рисунке 24 показано найденное образование (желтый круг) смещение позвонка С3 кзади на 3.1 мм.



Рисунок 24

ВЫВОДЫ

1. Область исследования - Голова и шея

1.1 Зона внимания - Большие полушария головного мозга.

Множественные гиперинтенсивные образования с четким контуром, диаметром до 7.6 мм, расположенные вдоль передних и задних рогов боковых желудочков, также и в белом веществе головного мозга: лобной, теменной, височной и затылочной долях.

1.2 Зона внимания - Мозжечок.

Множественные гиперинтенсивные образования в задней доле мозжечка, в белом веществе мозжечка.

1.3 Зона внимания - Мозолистое тело.

Истончение мозолистого тела. Гиперинтенсивное образование по краям колена и верхней части ствола мозолистого тела головного мозга.

1.4 Зона внимания - Гипофиз.

Гиперинтенсивный сигнал в полости турецкого седла. Сжатие гипофиза - высота до 2.2 мм.

1.5 Зона внимания - Ликворные пространства головного мозга.

Расширение ликворных пространств лобных, височных долей. Расширение продольной щели головного мозга до 7 мм.

1.6 Зона внимания - Гайморовы пазухи.

Наросты на стенках правой гайморовой пазухи.

2. Область исследования - Позвоночник

2.1 Зона внимания - Шейный отдел позвоночника.

- Стенозирование спинномозгового канала на $\frac{1}{2}$ на уровне C5/C6;
- Гиперинтенсивные образование в веществе спинного мозга на уровне C4-C5 позвонков размером 3.0 мм * 12.8 мм;
- Гиперинтенсивное образование в веществе спинного мозга на уровне C5 - C6 позвонков размером 2.6 мм * 13.0 мм;
- Гиперинтенсивные образование в передних частях тел позвонков C2-C4;
- Смещение позвонка C3 кзади на 3.1 мм.